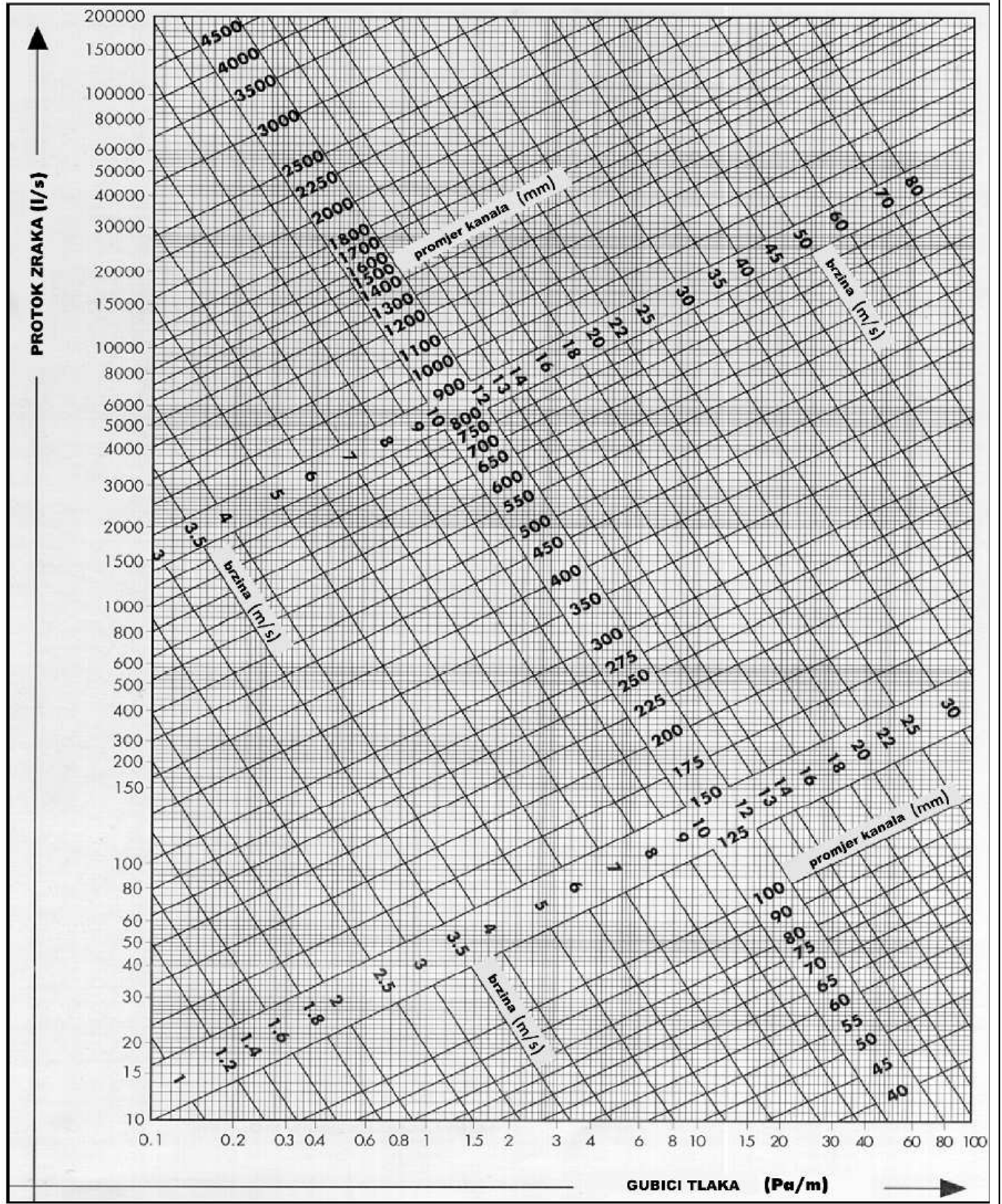


DIJAGRAM GUBITAKA TLAKA U OKRUGLIM KANALIMA

Međunarodni sistem



EKVIVALENTNI DIJAMETAR PRAVOKUTNOG KANALA (IZVOR ALP)

Dužina stranice a) mm	150	200	250	300	350	400	450	500	550	600	650	700	750	800	850	900	950	1000
Dužina stranice b) mm	Ø mm	Ø mm	Ø mm	Ø mm	Ø mm	Ø mm	Ø mm	Ø mm	Ø mm	Ø mm	Ø mm	Ø mm	Ø mm	Ø mm	Ø mm	Ø mm	Ø mm	Ø mm
250	210	441	273	299	322	343	363	381	397	413	428	443	456	469	482	494	505	517
300	228	266	299	328	354	371	399	426	439	457	474	490	505	520	534	548	560	573
350	245	286	322	354	382	408	433	455	476	495	515	533	550	566	582	593	611	625
400	260	304	343	371	408	437	463	488	511	533	553	573	591	610	640	656	674	674
450	274	321	363	399	433	463	491	518	543	566	588	610	630	649	667	685	702	719
500	287	337	381	426	455	488	518	546	573	599	622	644	660	689	706	725	744	761
550	299	351	397	439	476	511	543	573	601	628	658	688	700	721	743	763	783	802
600	310	365	413	457	496	533	566	598	628	660	684	708	732	753	775	797	820	842
650	321	378	428	474	515	553	588	622	658	684	715	738	762	786	810	834	858	877
700	331	390	443	490	533	573	610	644	688	703	738	770	796	822	847	865	886	903
750	340	402	456	505	550	591	630	666	700	732	762	796	825	850	875	900	920	940
800	350	413	469	520	566	610	649	686	721	753	786	822	850	880	902	923	944	966
850	359	424	482	534	582	626	667	706	743	775	810	847	875	902	935	958	982	1000
900	367	434	494	548	593	643	685	725	763	797	834	866	900	923	958	990	1010	1040
950	375	444	505	560	611	658	702	744	783	820	858	886	920	944	982	1010	1040	1070
1000	383	454	517	573	625	674	719	761	802	842	877	903	940	966	1000	1040	1070	1100
1050	391	463	527	586	639	689	735	778	820	864	896	927	960	992	1030	1060	1090	1120
1100	398	472	538	597	652	703	755	795	838	880	915	951	985	1010	1050	1090	1120	1150
1150	406	481	548	609	665	717	765	811	855	896	933	975	1010	1030	1070	1110	1140	1170
1200	413	490	558	620	677	730	780	827	871	912	951	993	1030	1050	1090	1130	1160	1200
1250	419	498	568	631	689	743	794	842	887	930	969	1010	1050	1080	1120	1160	1180	1220
1300	426	506	577	641	701	756	808	857	904	943	987	1030	1070	1100	1140	1180	1210	1240
1350	433	514	586	652	712	769	822	872	919	966	1010	1050	1090	1120	1170	1200	1240	1260
1400	440	521	595	662	724	781	835	880	924	964	1010	1050	1100	1140	1190	1230	1260	1280
1450	447	528	604	672	734	793	848	900	955	1000	1040	1090	1120	1160	1210	1250	1280	1300
1500	454	536	612	681	745	804	860	913	963	1010	1050	1100	1140	1180	1230	1270	1300	1330
1550	461	543	620	690	755	816	872	926	979	1030	1070	1120	1170	1200	1250	1290	1320	1350
1600	468	550	628	700	765	827	884	940	991	1040	1090	1140	1190	1220	1270	1320	1350	1380
1700	475	557	637	710	775	838	896	954	1004	1050	1100	1150	1200	1240	1290	1340	1380	1420
1800	482	564	646	719	784	848	908	964	1020	1080	1130	1190	1240	1280	1330	1370	1410	1460
1900	489	571	655	728	793	858	919	974	1030	1090	1140	1200	1250	1300	1350	1400	1440	1490
2000	496	578	664	733	800	865	927	981	1030	1090	1140	1200	1250	1300	1350	1400	1440	1500
2100	503	585	673	743	808	873	936	989	1040	1100	1150	1210	1260	1310	1360	1410	1450	1520
2200	510	592	682	752	817	882	945	1000	1050	1110	1160	1220	1270	1320	1370	1420	1460	1540
2300	517	599	691	761	826	891	954	1009	1060	1120	1170	1230	1280	1330	1380	1430	1470	1560
2400	524	606	700	770	835	900	963	1018	1070	1130	1180	1240	1290	1340	1390	1440	1480	1580
2500	531	613	709	779	844	909	972	1027	1080	1140	1190	1250	1300	1350	1400	1450	1490	1600
2600	538	620	718	788	853	918	981	1036	1090	1150	1200	1260	1310	1360	1410	1460	1500	1620
2700	545	627	727	797	862	927	990	1045	1100	1160	1210	1270	1320	1370	1420	1470	1510	1640
2800	552	634	736	806	871	936	999	1054	1110	1170	1220	1280	1330	1380	1430	1480	1520	1660
2900	559	641	745	815	880	945	1008	1063	1120	1180	1230	1290	1340	1390	1440	1490	1530	1700
3000	566	648	754	824	889	954	1017	1072	1130	1190	1240	1300	1350	1400	1450	1500	1540	1740
3100	573	655	763	833	898	963	1026	1081	1140	1200	1250	1310	1360	1410	1460	1510	1550	1780
3200	580	662	772	842	907	972	1035	1090	1150	1210	1260	1320	1370	1420	1470	1520	1560	1820
3300	587	669	781	851	916	981	1044	1100	1160	1220	1270	1330	1380	1430	1480	1530	1570	1860
3400	594	676	790	860	925	990	1053	1110	1170	1230	1280	1340	1390	1440	1490	1540	1580	1900
3500	601	683	799	869	934	1000	1063	1120	1180	1240	1290	1350	1400	1450	1500	1550	1590	1940
3600	608	690	808	878	943	1009	1072	1130	1190	1250	1300	1360	1410	1460	1510	1560	1600	1980

EKVIVALENTNI DIJAMETAR PRAVOKUTNOG KANALA (IZVOR ASHRAE))

Lgth Adj. ^b	Length of One Side of Rectangular Duct (a), mm																			
	100	125	150	175	200	225	250	275	300	350	400	450	500	550	600	650	700	750	800	900
	Circular Duct Diameter, mm																			
100	109																			
125	122	137																		
150	133	150	164																	
175	143	161	177	191																
200	152	172	189	204	219															
225	161	181	200	216	232	246														
250	169	190	210	228	244	259	273													
275	176	199	220	238	256	272	287	301												
300	183	207	229	248	266	283	299	314	328											
350	195	222	245	267	286	305	322	339	354	383										
400	207	235	260	283	305	325	343	361	378	409	437									
450	217	247	274	299	321	343	363	382	400	433	464	492								
500	227	258	287	313	337	360	381	401	420	455	488	518	547							
550	236	269	299	326	352	375	398	419	439	477	511	543	573	601						
600	245	279	310	339	365	390	414	436	457	496	533	567	598	628	656					
650	253	289	321	351	378	404	429	452	474	515	553	589	622	653	683	711				
700	261	298	331	362	391	418	443	467	490	533	573	610	644	677	708	737	765			
750	268	306	341	373	402	430	457	482	506	550	592	630	666	700	732	763	792	820		
800	275	314	350	383	414	442	470	496	520	567	609	649	687	722	755	787	818	847	875	
900	289	330	367	402	435	465	494	522	548	597	643	686	726	763	799	833	866	897	927	984
1000	301	344	384	420	454	486	517	546	574	626	674	719	762	802	840	876	911	944	976	1037
1100	313	358	399	437	473	506	538	569	598	652	703	751	795	838	878	916	953	988	1022	1086
1200	324	370	413	453	490	525	558	590	620	677	731	780	827	872	914	954	993	1030	1066	1133
1300	334	382	426	468	506	543	577	610	642	701	757	808	857	904	948	990	1031	1069	1107	1177
1400	344	394	439	482	522	559	595	629	662	724	781	835	886	934	980	1024	1066	1107	1146	1220
1500	353	404	452	495	536	575	612	648	681	745	805	860	913	963	1011	1057	1100	1143	1183	1260
1600	362	415	463	508	551	591	629	665	700	766	827	885	939	991	1041	1088	1133	1177	1219	1298
1700	371	425	475	521	564	605	644	682	718	785	849	908	964	1018	1069	1118	1164	1209	1253	1335
1800	379	434	485	533	577	619	660	698	735	804	869	930	988	1043	1096	1146	1195	1241	1286	1371
1900	387	444	496	544	590	633	674	713	751	823	889	952	1012	1068	1122	1174	1224	1271	1318	1405
2000	395	453	506	555	602	646	688	728	767	840	908	973	1034	1092	1147	1200	1252	1301	1348	1438
2100	402	461	516	566	614	659	702	743	782	857	927	993	1055	1115	1172	1226	1279	1329	1378	1470
2200	410	470	525	577	625	671	715	757	797	874	945	1013	1076	1137	1195	1251	1305	1356	1406	1501
2300	417	478	534	587	636	683	728	771	812	890	963	1031	1097	1159	1218	1275	1330	1383	1434	1532
2400	424	486	543	597	647	695	740	784	826	905	980	1050	1116	1180	1241	1299	1355	1409	1461	1561
2500	430	494	552	606	658	706	753	797	840	920	996	1068	1136	1200	1262	1322	1379	1434	1488	1589
2600	437	501	560	616	668	717	764	810	853	935	1012	1085	1154	1220	1283	1344	1402	1459	1513	1617
2700	443	509	569	625	678	728	776	822	866	950	1028	1102	1173	1240	1304	1366	1425	1483	1538	1644
2800	450	516	577	634	688	738	787	834	879	964	1043	1119	1190	1259	1324	1387	1447	1506	1562	1670
2900	456	523	585	643	697	749	798	845	891	977	1058	1135	1208	1277	1344	1408	1469	1529	1586	1696

Lgth Adj. ^b	Length One Side of Rectangular Duct (a), mm																			
	1000	1100	1200	1300	1400	1500	1600	1700	1800	1900	2000	2100	2200	2300	2400	2500	2600	2700	2800	2900
	Circular Duct Diameter, mm																			
1000	1093																			
1100	1146	1202																		
1200	1196	1256	1312																	
1300	1244	1306	1365	1421																
1400	1289	1354	1416	1475	1530															
1500	1332	1400	1464	1526	1584	1640														
1600	1373	1444	1511	1574	1635	1693	1749													
1700	1413	1486	1555	1621	1684	1745	1803	1858												
1800	1451	1527	1598	1667	1732	1794	1854	1912	1968											
1900	1488	1566	1640	1710	1778	1842	1904	1964	2021	2077										
2000	1523	1604	1680	1753	1822	1889	1952	2014	2073	2131	2186									
2100	1558	1640	1719	1793	1865	1933	1999	2063	2124	2183	2240	2296								
2200	1591	1676	1756	1833	1906	1977	2044	2110	2173	2233	2292	2350	2405							
2300	1623	1710	1793	1871	1947	2019	2088	2155	2220	2283	2343	2402	2459	2514						
2400	1655	1744	1828	1909	1986	2060	2131	2200	2266	2330	2393	2453	2511	2568	2624					
2500	1685	1776	1862	1945	2024	2100	2173	2243	2311	2377	2441	2502	2562	2621	2678	2733				
2600	1715	1808	1896	1980	2061	2139	2213	2285	2355	2422	2487	2551	2612	2672	2730	2787	2842			
2700	1744	1839	1929	2015	2097	2177	2253	2327	2398	2466	2533	2598	2661	2722	2782	2840	2896	2952		
2800	1772	1869	1961	2048	2133	2214	2292	2367	2439	2510	2578	2644	2708	2771	2832	2891	2949	3006	3061	
2900	1800	1898	1992	2081	2167	2250	2329	2406	2480	2552	2621	2689	2755	2819	2881	2941	3001	3058	3115	3170

^aTable based on $D_e = 1.30(ab)^{0.625}/(a+b)^{0.25}$.

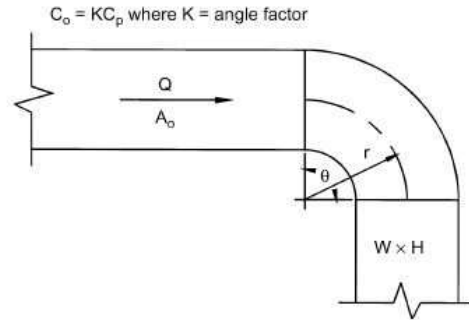
^bLength adjacent side of rectangular duct (b), mm.

KOEFICIJENTI LOKALNOG PADA TLAKA (IZVOR ASHRAE)

CR3-1 Elbow, Smooth Radius, Without Vanes

r/W	C_p Values										
	H/W										
	0.25	0.50	0.75	1.00	1.50	2.00	3.00	4.00	5.00	6.00	8.00
0.50	1.53	1.38	1.29	1.18	1.06	1.00	1.00	1.06	1.12	1.16	1.18
0.75	0.57	0.52	0.48	0.44	0.40	0.39	0.39	0.40	0.42	0.43	0.44
1.00	0.27	0.25	0.23	0.21	0.19	0.18	0.18	0.19	0.20	0.21	0.21
1.50	0.22	0.20	0.19	0.17	0.15	0.14	0.14	0.15	0.16	0.17	0.17
2.00	0.20	0.18	0.16	0.15	0.14	0.13	0.13	0.14	0.14	0.15	0.15

Angle Factor K											
θ	0	20	30	45	60	75	90	110	130	150	180
K	0.00	0.31	0.45	0.60	0.78	0.90	1.00	1.13	1.20	1.28	1.40



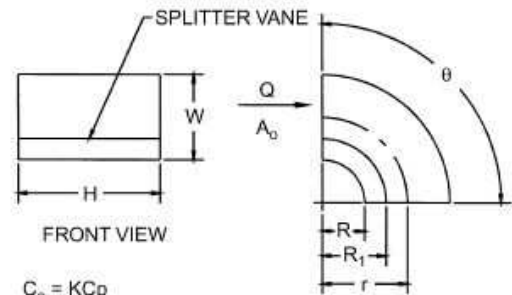
CR3-3 Elbow, Smooth Radius, One Splitter Vane

r/W	C_p Values										
	H/W										
	0.25	0.50	1.00	1.50	2.00	3.00	4.00	5.00	6.00	7.00	8.00
0.55	0.52	0.40	0.43	0.49	0.55	0.66	0.75	0.84	0.93	1.01	1.09
0.60	0.36	0.27	0.25	0.28	0.30	0.35	0.39	0.42	0.46	0.49	0.52
0.65	0.28	0.21	0.18	0.19	0.20	0.22	0.25	0.26	0.28	0.30	0.32
0.70	0.22	0.16	0.14	0.14	0.15	0.16	0.17	0.18	0.19	0.20	0.21
0.75	0.18	0.13	0.11	0.11	0.11	0.12	0.13	0.14	0.14	0.15	0.15
0.80	0.15	0.11	0.09	0.09	0.09	0.09	0.10	0.10	0.11	0.11	0.12
0.85	0.13	0.09	0.08	0.07	0.07	0.08	0.08	0.08	0.08	0.09	0.09
0.90	0.11	0.08	0.07	0.06	0.06	0.06	0.06	0.07	0.07	0.07	0.07
0.95	0.10	0.07	0.06	0.05	0.05	0.05	0.05	0.05	0.06	0.06	0.06
1.00	0.09	0.06	0.05	0.05	0.04	0.04	0.04	0.05	0.05	0.05	0.05

Angle Factor K					
θ	0	30	45	60	90
K	0.00	0.45	0.60	0.78	1.00

Curve Ratio CR										
r/W	0.55	0.60	0.65	0.70	0.75	0.80	0.85	0.90	0.95	1.00
CR	0.218	0.302	0.361	0.408	0.447	0.480	0.509	0.535	0.557	0.577

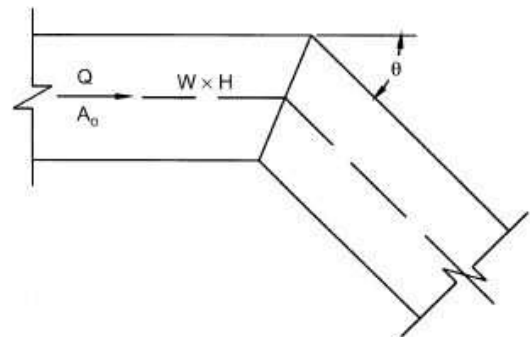
Throat Radius/Width Ratio (R/W)										
r/W	0.55	0.60	0.65	0.70	0.75	0.80	0.85	0.90	0.95	1.00
R/W	0.05	0.10	0.15	0.20	0.25	0.30	0.35	0.40	0.45	0.50



$C_0 = KC_p$
 $R_1 = R/CR$
 where
 R = throat radius
 R_1 = splitter vane radius
 CR = curve ratio
 K = angle factor

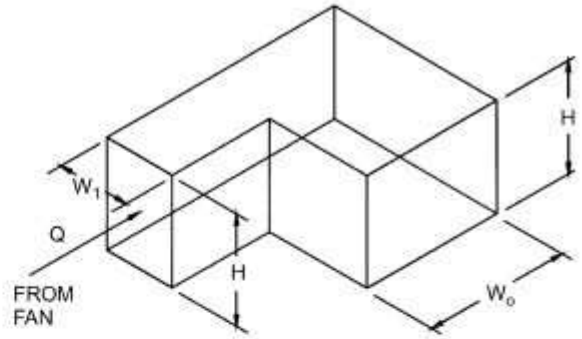
CR3-6 Elbow, Mitered

θ	C_p Values										
	H/W										
	0.25	0.50	0.75	1.00	1.50	2.00	3.00	4.00	5.00	6.00	8.00
20	0.08	0.08	0.08	0.07	0.07	0.07	0.06	0.06	0.05	0.05	0.05
30	0.18	0.17	0.17	0.16	0.15	0.15	0.13	0.13	0.12	0.12	0.11
45	0.38	0.37	0.36	0.34	0.33	0.31	0.28	0.27	0.26	0.25	0.24
60	0.60	0.59	0.57	0.55	0.52	0.49	0.46	0.43	0.41	0.39	0.38
75	0.89	0.87	0.84	0.81	0.77	0.73	0.67	0.63	0.61	0.58	0.57
90	1.30	1.27	1.23	1.18	1.13	1.07	0.98	0.92	0.89	0.85	0.83



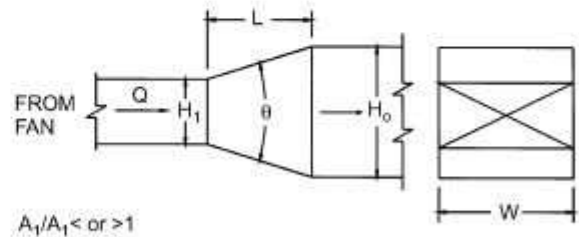
SR3-1 Elbow, 90 Degree, Variable Inlet/Outlet Areas, Supply Air Systems

H/W_1	C_o Values						
	0.6	0.8	1.0	W_o/W_1 1.2	1.4	1.6	2.0
0.25	0.63	0.92	1.24	1.64	2.14	2.71	4.24
1.00	0.61	0.87	1.15	1.47	1.86	2.30	3.36
4.00	0.53	0.70	0.90	1.17	1.49	1.84	2.64
100.00	0.54	0.67	0.79	0.99	1.23	1.54	2.20



SR4-1 Transition, Rectangular, Two Sides Parallel, Symmetrical, Supply Air Systems

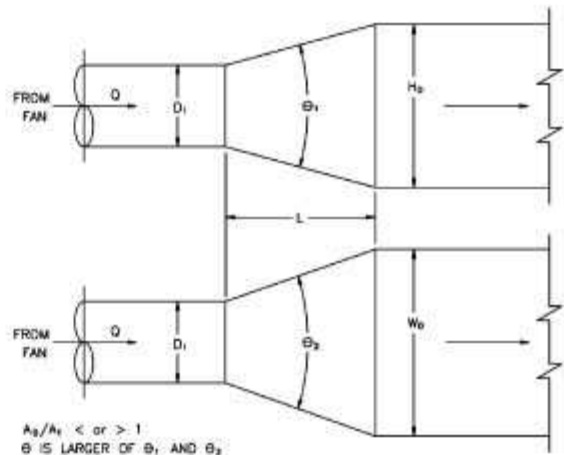
A_o/A_1	C_o Values										
	θ										
	10	15	20	30	45	60	90	120	150	180	
0.10	0.05	0.05	0.05	0.05	0.05	0.07	0.08	0.19	0.29	0.37	0.43
0.17	0.05	0.04	0.04	0.04	0.04	0.05	0.07	0.18	0.28	0.36	0.42
0.25	0.05	0.04	0.04	0.04	0.04	0.06	0.07	0.17	0.27	0.35	0.41
0.50	0.06	0.05	0.05	0.05	0.05	0.06	0.07	0.14	0.20	0.26	0.27
1.00	0.00	0.00	0.00	0.00	0.00	0.00	0.00	0.00	0.00	0.00	1.00
2.00	0.56	0.52	0.60	0.96	1.40	1.48	1.52	1.48	1.44	1.40	
4.00	2.72	3.04	3.52	6.72	9.60	10.88	11.20	11.04	10.72	10.56	
10.00	24.00	26.00	36.00	53.00	69.00	82.00	93.00	93.00	92.00	91.00	
16.00	66.56	69.12	102.40	143.36	181.76	220.16	256.00	253.44	250.88	250.88	



$A_1/A_1 < \text{or} > 1$

SR4-3 Transition, Round to Rectangular, Supply Air Systems

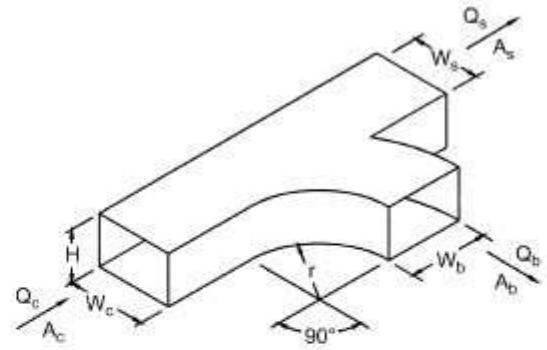
A_o/A_1	C_o Values										
	θ										
	10	15	20	30	45	60	90	120	150	180	
0.10	0.05	0.05	0.05	0.05	0.05	0.07	0.08	0.19	0.29	0.37	0.43
0.17	0.05	0.05	0.05	0.04	0.04	0.06	0.07	0.18	0.28	0.36	0.42
0.25	0.06	0.05	0.05	0.04	0.04	0.06	0.07	0.17	0.27	0.35	0.41
0.50	0.06	0.07	0.07	0.05	0.05	0.06	0.06	0.12	0.18	0.24	0.26
1.00	0.00	0.00	0.00	0.00	0.00	0.00	0.00	0.00	0.00	0.00	0.00
2.00	0.60	0.84	1.00	1.20	1.32	1.32	1.32	1.28	1.24	1.20	
4.00	4.00	5.76	7.20	8.32	9.28	9.92	10.24	10.24	10.24	10.24	
10.00	30.00	50.00	53.00	64.00	75.00	84.00	89.00	91.00	91.00	88.00	
16.00	76.80	138.24	135.68	166.40	197.12	225.28	243.20	250.88	250.88	238.08	



$A_2/A_1 < \text{or} > 1$
 θ IS LARGER OF θ_1 AND θ_2

SR5-1 Smooth Wye of Type $A_3 + A_3 \geq A_c$, Branch 90° to Main, Diverging

		C_3 Values								
		Q_b/Q_c								
A_3/A_c	A_3/A_c	0.1	0.2	0.3	0.4	0.5	0.6	0.7	0.8	0.9
0.50	0.25	3.44	0.70	0.30	0.20	0.17	0.16	0.16	0.17	0.18
	0.50	11.00	2.37	1.06	0.64	0.52	0.47	0.47	0.47	0.48
	1.00	60.00	13.00	4.78	2.06	0.96	0.47	0.31	0.27	0.26
0.75	0.25	2.19	0.55	0.35	0.31	0.33	0.35	0.36	0.37	0.39
	0.50	13.00	2.50	0.89	0.47	0.34	0.31	0.32	0.36	0.43
	1.00	70.00	15.00	5.67	2.62	1.36	0.78	0.53	0.41	0.36
1.00	0.25	3.44	0.78	0.42	0.33	0.30	0.31	0.40	0.42	0.46
	0.50	15.50	3.00	1.11	0.62	0.48	0.42	0.40	0.42	0.46
	1.00	67.00	13.75	5.11	2.31	1.28	0.81	0.59	0.47	0.46

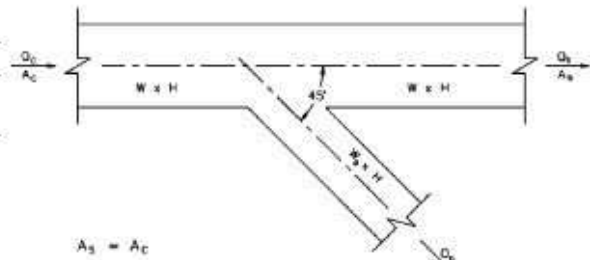


$r/W_s = 1.0$
 $A_s = A_b \geq A_c$

		C_3 Values								
		Q_s/Q_c								
A_3/A_c	A_3/A_c	0.1	0.2	0.3	0.4	0.5	0.6	0.7	0.8	0.9
0.50	0.25	8.75	1.62	0.50	0.17	0.05	0.00	-0.02	-0.02	0.00
	0.50	7.50	1.12	0.25	0.06	0.05	0.09	0.14	0.19	0.22
	1.00	5.00	0.62	0.17	0.08	0.08	0.09	0.12	0.15	0.19
0.75	0.25	19.13	3.38	1.00	0.28	0.05	-0.02	-0.02	0.00	0.06
	0.50	20.81	3.23	0.75	0.14	-0.02	-0.05	-0.05	-0.02	0.03
	1.00	16.88	2.81	0.63	0.11	-0.02	-0.05	0.01	0.00	0.07
1.00	0.25	46.00	9.50	3.22	1.31	0.52	0.14	-0.02	-0.05	-0.01
	0.50	35.00	6.75	2.11	0.75	0.24	0.00	-0.10	-0.09	-0.04
	1.00	38.00	7.50	2.44	0.81	0.24	-0.03	-0.08	-0.06	-0.02

SR5-3 Wye of the Type $A_3 + A_3 > A_c, A_3 = A_c$, 45 Degree, Diverging

		C_3 Values								
		Q_b/Q_c								
A_3/A_c		0.1	0.2	0.3	0.4	0.5	0.6	0.7	0.8	0.9
0.1	0.60	0.52	0.57	0.58	0.64	0.67	0.70	0.71	0.73	
0.2	2.24	0.56	0.44	0.45	0.51	0.54	0.58	0.60	0.62	
0.3	5.94	1.08	0.52	0.41	0.44	0.46	0.49	0.52	0.54	
0.4	10.56	1.88	0.71	0.43	0.35	0.31	0.31	0.32	0.34	
0.5	17.75	3.25	1.14	0.59	0.40	0.31	0.30	0.30	0.31	
0.6	26.64	5.04	1.76	0.83	0.50	0.36	0.32	0.30	0.30	
0.7	37.73	7.23	2.56	1.16	0.67	0.44	0.35	0.31	0.30	
0.8	49.92	9.92	3.48	1.60	0.87	0.55	0.42	0.35	0.32	

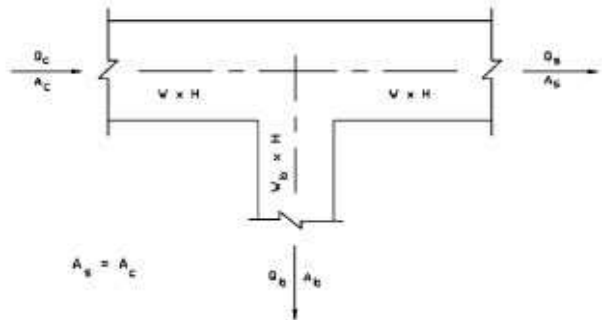


$A_3 = A_c$

Q_s/Q_c	0.1	0.2	0.3	0.4	0.5	0.6	0.8	1.0
C_3	32.00	6.50	2.22	0.87	0.40	0.17	0.03	0.00

SR5-5 Tee of the Type $A_3 + A_3 > A_c, A_3 = A_c$ Diverging

		C_3 Values								
		Q_b/Q_c								
A_3/A_c		0.1	0.2	0.3	0.4	0.5	0.6	0.7	0.8	0.9
0.1	2.06	1.20	0.99	0.87	0.88	0.87	0.87	0.86	0.86	
0.2	5.16	1.92	1.28	1.03	0.99	0.94	0.92	0.90	0.89	
0.3	10.26	3.15	1.78	1.28	1.16	1.06	1.01	0.97	0.94	
0.4	15.84	4.36	2.24	1.48	1.11	0.88	0.80	0.75	0.72	
0.5	24.25	6.31	3.03	1.89	1.35	1.03	0.91	0.84	0.78	
0.6	34.56	8.73	4.04	2.41	1.64	1.22	1.04	0.94	0.87	
0.7	46.55	11.51	5.17	3.00	2.00	1.44	1.20	1.06	0.96	
0.8	60.80	14.72	6.54	3.72	2.41	1.69	1.38	1.20	1.07	



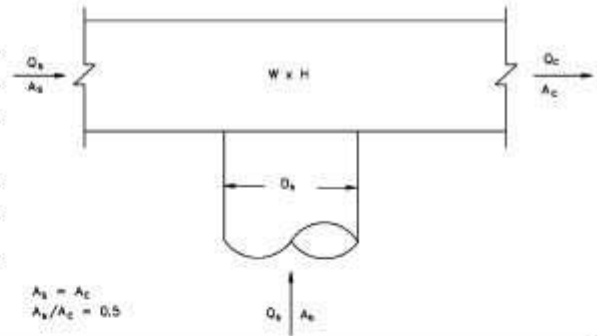
$A_3 = A_c$

Q_s/Q_c	0.1	0.2	0.3	0.4	0.5	0.6	0.8	1.0
C_3	32.00	6.50	2.22	0.87	0.40	0.17	0.03	0.00

ER5-2 Tee, Round Tap to Rectangular Main, Converging

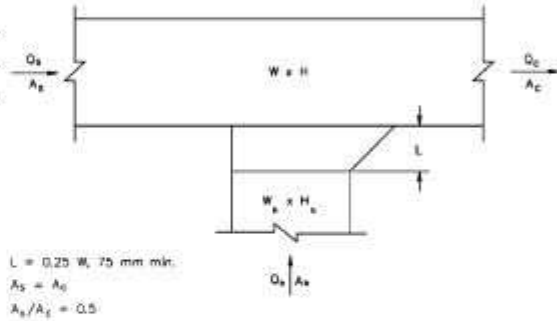
Q_b/Q_c	0.1	0.2	0.3	0.4	0.5	0.6	0.7	0.8	0.9	1.0
C_b	-12.25	-1.31	0.64	0.94	1.27	1.43	1.40	1.45	1.52	1.49

Q_i/Q_c	0.1	0.2	0.3	0.4	0.5	0.6	0.7	0.8	0.9
C_i	2.15	11.91	6.54	3.74	2.23	1.33	0.76	0.38	0.10


ER5-3 Tee, 45 Degree Entry Branch, Converging

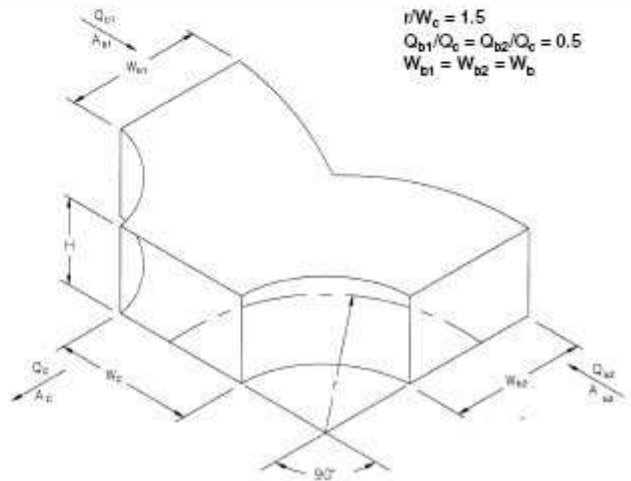
Q_b/Q_c	0.1	0.2	0.3	0.4	0.5	0.6	0.7	0.8	0.9	1.0
C_b	-18.00	-3.25	-0.64	0.53	0.76	0.79	0.93	0.79	0.90	0.91

Q_i/Q_c	0.1	0.2	0.3	0.4	0.5	0.6	0.7	0.8	0.9
C_i	2.15	11.91	6.54	3.74	2.23	1.33	0.76	0.38	0.10

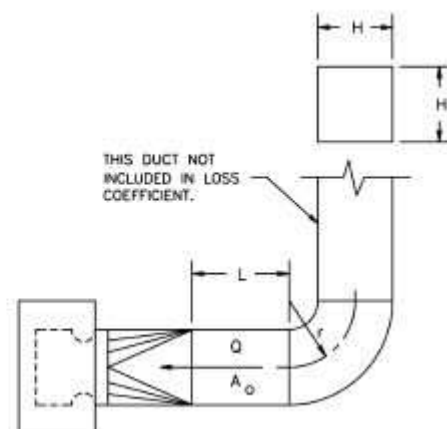

ER5-4 Wye, Symmetrical, Dovetail, $Q_b/Q_c = 0.5$, Converging

A_b/A_c	0.5	1.0
C_b	0.23	0.28

Branches are identical, $Q_{b1} = Q_{b2} = Q_b$, and $C_{b1} = C_{b2} = C_b$


**ER7-1 Fan Inlet, Centrifugal, SWSI,
90 Degree Smooth Radius Elbow (Square)**

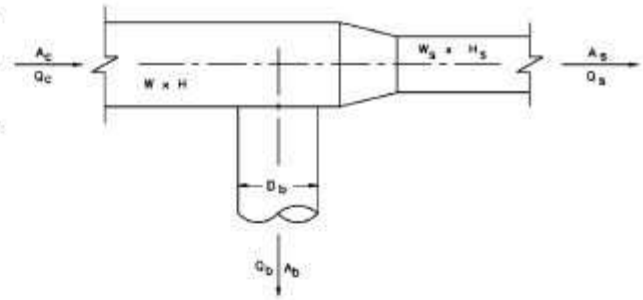
r/H	C_p Values			
	L/H			
	0.0	2.0	5.0	10.0
0.50	2.50	1.60	0.80	0.80
0.75	2.00	1.20	0.67	0.67
1.00	1.20	0.67	0.33	0.33
1.50	1.00	0.57	0.30	0.30
2.00	0.80	0.47	0.26	0.26



SR5-11 Tee, Rectangular Main to Round Tap, Diverging

C_b Values										
A_b/A_c	Q_b/Q_c									
	0.1	0.2	0.3	0.4	0.5	0.6	0.7	0.8	0.9	
0.1	1.58	0.94	0.83	0.79	0.77	0.76	0.76	0.76	0.75	
0.2	4.20	1.58	1.10	0.94	0.87	0.83	0.80	0.79	0.78	
0.3	8.63	2.67	1.58	1.20	1.03	0.94	0.88	0.85	0.83	
0.4	14.85	4.20	2.25	1.58	1.27	1.10	1.00	0.94	0.90	
0.5	22.87	6.19	3.13	2.07	1.58	1.32	1.16	1.06	0.99	
0.6	32.68	8.63	4.20	2.67	1.96	1.58	1.35	1.20	1.10	
0.7	44.30	11.51	5.48	3.38	2.41	1.89	1.58	1.38	1.24	
0.8	57.71	14.85	6.95	4.20	2.94	2.25	1.84	1.58	1.40	
0.9	72.92	18.63	8.63	5.14	3.53	2.67	2.14	1.81	1.58	

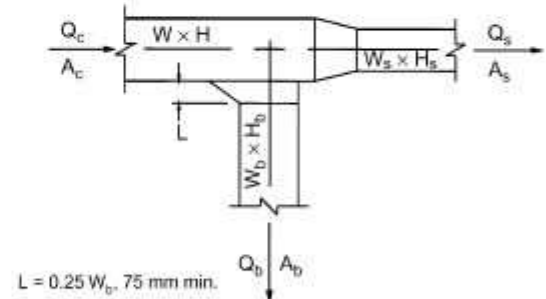
C_s Values										
A_s/A_c	Q_s/Q_c									
	0.1	0.2	0.3	0.4	0.5	0.6	0.7	0.8	0.9	
0.1	0.04									
0.2	0.98	0.04								
0.3	3.48	0.31	0.04							
0.4	7.55	0.98	0.18	0.04						
0.5	13.18	2.03	0.49	0.13	0.04					
0.6	20.38	3.48	0.98	0.31	0.10	0.04				
0.7	29.15	5.32	1.64	0.60	0.23	0.09	0.04			
0.8	39.48	7.55	2.47	0.98	0.42	0.18	0.08	0.04		
0.9	51.37	10.17	3.48	1.46	0.67	0.31	0.15	0.07	0.04	



SR5-13 Tee, 45 Degree Entry Branch, Diverging

C_b Values										
A_b/A_c	Q_b/Q_c									
	0.1	0.2	0.3	0.4	0.5	0.6	0.7	0.8	0.9	
0.1	0.73	0.34	0.32	0.34	0.35	0.37	0.38	0.39	0.40	
0.2	3.10	0.73	0.41	0.34	0.32	0.32	0.33	0.34	0.35	
0.3	7.59	1.65	0.73	0.47	0.37	0.34	0.32	0.32	0.32	
0.4	14.20	3.10	1.28	0.73	0.51	0.41	0.36	0.34	0.32	
0.5	22.92	5.08	2.07	1.12	0.73	0.54	0.44	0.38	0.35	
0.6	33.76	7.59	3.10	1.65	1.03	0.73	0.56	0.47	0.41	
0.7	46.71	10.63	4.36	2.31	1.42	0.98	0.73	0.58	0.49	
0.8	61.79	14.20	5.86	3.10	1.90	1.28	0.94	0.73	0.60	
0.9	78.98	18.29	7.59	4.02	2.46	1.65	1.19	0.91	0.73	

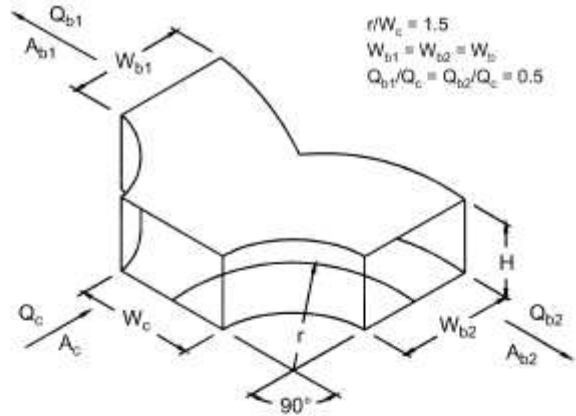
C_s Values										
A_s/A_c	Q_s/Q_c									
	0.1	0.2	0.3	0.4	0.5	0.6	0.7	0.8	0.9	
0.1	0.04									
0.2	0.98	0.04								
0.3	3.48	0.31	0.04							
0.4	7.55	0.98	0.18	0.04						
0.5	13.18	2.03	0.49	0.13	0.04					
0.6	20.38	3.48	0.98	0.31	0.10	0.04				
0.7	29.15	5.32	1.64	0.60	0.23	0.09	0.04			
0.8	39.48	7.55	2.47	0.98	0.42	0.18	0.08	0.04		
0.9	51.37	10.17	3.48	1.46	0.67	0.31	0.15	0.07	0.04	



SR5-14 Wye, Symmetrical, Dovetail, $Q_b/Q_c = 0.5$, Diverging

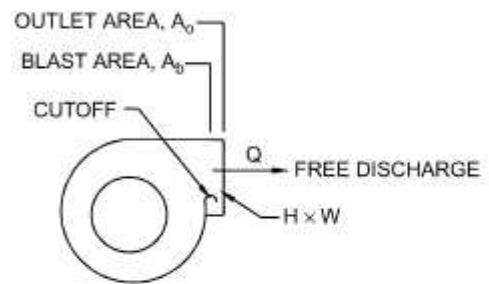
A_b/A_c	0.5	1.0
C_b	0.30	1.00

Branches are identical: $Q_{b1} = Q_{b2} = Q_b$ and $C_{b1} = C_{b2} = C_b$



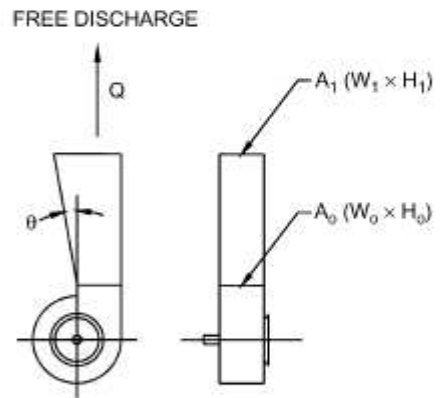
SR7-1 Fan, Centrifugal, Without Outlet Diffuser, Free Discharge

A_b/A_o	0.4	0.5	0.6	0.7	0.8	0.9	1.0
C_o	2.00	2.00	1.00	0.80	0.47	0.22	0.00



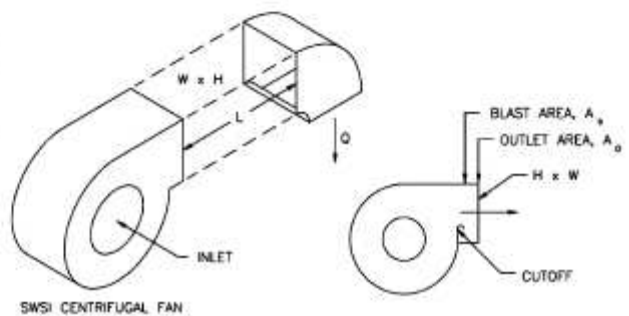
SR7-2 Plane Asymmetric Diffuser at Centrifugal Fan Outlet, Free Discharge

θ	C_o Values					
	A_1/A_o					
	1.5	2.0	2.5	3.0	3.5	4.0
10	0.51	0.34	0.25	0.21	0.18	0.17
15	0.54	0.36	0.27	0.24	0.22	0.20
20	0.55	0.38	0.31	0.27	0.25	0.24
25	0.59	0.43	0.37	0.35	0.33	0.33
30	0.63	0.50	0.46	0.44	0.43	0.42
35	0.65	0.56	0.53	0.52	0.51	0.50



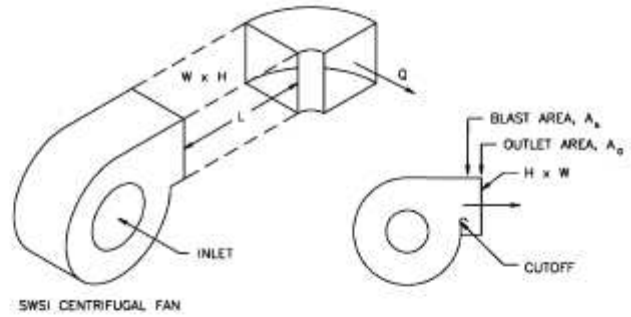
SR7-5 Fan Outlet, Centrifugal, SWSI, with Elbow (Position A)

A_b/A_o	C_o Values					
	L/L_c					
	0.00	0.12	0.25	0.50	1.00	10.00
0.4	3.20	2.50	1.80	0.80	0.00	0.00
0.5	2.20	1.80	1.20	0.53	0.00	0.00
0.6	1.60	1.40	0.80	0.40	0.00	0.00
0.7	1.00	0.80	0.53	0.26	0.00	0.00
0.8	0.80	0.67	0.47	0.18	0.00	0.00
0.9	0.53	0.47	0.33	0.18	0.00	0.00
1.0	0.53	0.47	0.33	0.18	0.00	0.00



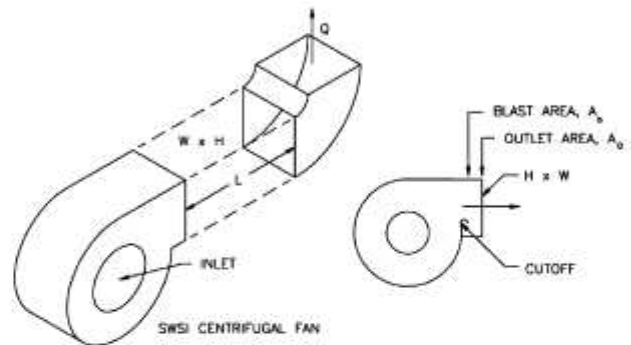
SR7-6 Fan Outlet, Centrifugal, SWSI, with Elbow (Position B)

A_b/A_o	C_o Values					
	L/L_e					
	0.00	0.12	0.25	0.50	1.00	10.00
0.4	3.80	3.20	2.20	1.00	0.00	0.00
0.5	2.90	2.20	1.60	0.67	0.00	0.00
0.6	2.00	1.60	1.20	0.53	0.00	0.00
0.7	1.40	1.00	0.67	0.33	0.00	0.00
0.8	1.00	0.80	0.53	0.26	0.00	0.00
0.9	0.80	0.67	0.47	0.18	0.00	0.00
1.0	0.67	0.53	0.40	0.18	0.00	0.00



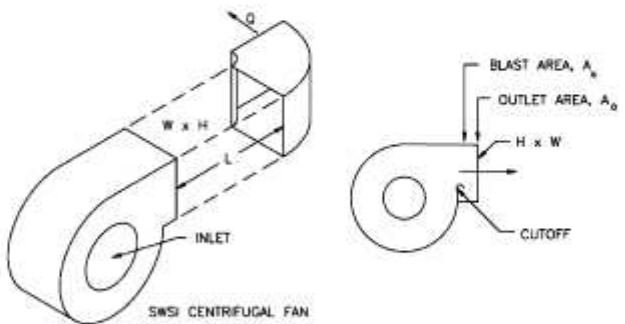
SR7-7 Fan Outlet, Centrifugal, SWSI, with Elbow (Position C)

A_b/A_o	C_o Values					
	L/L_e					
	0.00	0.12	0.25	0.50	1.00	10.00
0.4	5.50	4.50	3.20	1.60	0.00	0.00
0.5	3.80	3.20	2.20	1.00	0.00	0.00
0.6	2.90	2.50	1.60	0.80	0.00	0.00
0.7	2.00	1.60	1.00	0.53	0.00	0.00
0.8	1.40	1.20	0.80	0.33	0.00	0.00
0.9	1.20	0.80	0.67	0.26	0.00	0.00
1.0	1.00	0.80	0.53	0.26	0.00	0.00



SR7-8 Fan Outlet, Centrifugal, SWSI, with Elbow (Position D)

A_b/A_o	C_o Values					
	L/L_e					
	0.00	0.12	0.25	0.50	1.00	10.00
0.4	5.50	4.50	3.20	1.60	0.00	0.00
0.5	3.80	3.20	2.20	1.00	0.00	0.00
0.6	2.90	2.50	1.60	0.80	0.00	0.00
0.7	2.00	1.60	1.00	0.53	0.00	0.00
0.8	1.40	1.20	0.80	0.33	0.00	0.00
0.9	1.20	0.80	0.67	0.26	0.00	0.00
1.0	1.00	0.80	0.53	0.26	0.00	0.00



SR7-9 Fan Outlet, Centrifugal, DWDI, with Elbow (Position A)

A_b/A_o	C_o Values					
	L/L_e					
	0.00	0.12	0.25	0.50	1.00	10.00
0.4	3.20	2.50	1.80	0.80	0.00	0.00
0.5	2.20	1.80	1.20	0.53	0.00	0.00
0.6	1.60	1.40	0.80	0.40	0.00	0.00
0.7	1.00	0.80	0.53	0.26	0.00	0.00
0.8	0.80	0.67	0.47	0.18	0.00	0.00
0.9	0.53	0.47	0.33	0.18	0.00	0.00
1.0	0.53	0.47	0.33	0.18	0.00	0.00

